

雪嶽山 雙川 溪谷의 황칠나무  
(*Populus maximowiczii*)林에 關하여

任 良 奉 · 高 永 愛

(中央大學校 文理科大學 生物學科)

On the *Populus maximowiczii* Forest of  
Sangcheon Ravine, Mt. Seolag

Yim, Yang-Jai and Yong Ae Koh

(Department of Biology, Chung-Ang University, Seoul)

ABSTRACT

The *Populus maximowiczii* dominated forest of the Sangcheon ravine, Mt. Seolag, is distributed in the area with the conglomerates substrate, along the ravine stream from 170 m to 550 m in altitude.

Toward the both slopes of the northern and southern peak from the stream side, the zonal distribution of vegetation was recognized; *P. maximowiczii* forest or *Pinus densiflora* forest and deciduous broad leaved forest.

The pure community of *P. maximowiczii* with even more 80—98% in relative basal area (aspen basal area/basal area) was found in the ravine area from 360 m to 420 m in altitude, the optimal ranges in the species and community by two dimensional ordination with thermal and xeric cline axis. The species compete with *Pinus densiflora*, in the ravine stream side, and with deciduous broad leaved tree species such as *Fraxinus rhynchophylla*, *Prunus sargentii*, *Lindera obtusiloba*, in the mountain slope sides.

On the other hand, the ravine vegetation, including the aspen forest, was classified into *Pinus densiflora*, *Pinus densiflora-Carpinus laxiflora*, *Pinus densiflora-Populus maximowiczii*, *Populus maximowiczii*, *Populus maximowiczii-Pinus densiflora*, *Acer mono-Celtis jessoensis*, *Acer mono-Fraxinus rhynchophylla*, *Carpinus laxiflora-Quercus mongolica*, *Quercus variabilis-Quercus ariena*, *Quercus ariena*, *Quercus variabilis-Stephanandra incisa*, *Picrasma quassoides-Celtis sinensis*, *Betula davurica-Zanthoxylum schinifolium* and *Styrax obassia-Lindera obtusiloba* association.

緒論

*Populus* 屬의 植物은 成長이 빠른 先驅種으로서 溫帶 落葉性 樹種 中에서 光合成率이 가장

높은 것 중의 하나이니, 營養繁殖을 하므로 亞種間에 많은 雜種이 생기는 것으로 알려져 있다 (Larcher, 1969; Pallardy and Kozlowski, 1981). 황칠나무 (*P. maximowiczii*)는 강원도 및 평남 이북의 넷가에 자라며, 形態學的으로 털황칠 (*P. maximowiczii* var. *barbinervis*) 과 区別된다. 低地帶의 溪谷에 分布하나 比較的 큰 群集은 主로 雪嶽山 低項嶺雙川溪谷에서 볼 수 있다 (李 등, 1973; 李, 1980; 任 및 沈, 1982; 林 등, 1983; 白 및 任, 1983). 우리나라에 分布하는 主要樹種垂直 또는 水平分布는 어느 程度 밝혀져 있고 (鄭 및 李, 1963) 이를 分布域은 溫度傾度에 依한 分析이 이루어진 바 있다 (Yim, 1977). 그러나 그들 種의 niche에 대한 二次元以上의 分析은 없었다 (Fox, 1981).

本研究에서는 磯岩地帶인 低項嶺 雙川 溪谷에 分布하는 *P. maximowiczii* 가 優占하는 群集에 對해 溫度傾度와 土壤溫度의 傾度를 軸으로 하는 二次元序列法에 依하여 種의 分布範圍과 群集의 構造의 特性 및 他種과의 競爭關係를 밝히고, 아울러 種組成에 依하여 周邊植生의 群集을 分類하였다.

#### 材料 및 方法

**植生과 環境調査.** 雙川 溪谷은 低項嶺을 起點으로 하여 雪嶽洞과 飛仙臺의 거의 中間地點을 가로지르는 비교적 넓고 평坦한 溪谷으로서 이곳에는 황칠나무와 소나무가 優占하고 溪谷의 南北兩斜面에는 落葉闊葉樹林이 分布한다.

溪谷의 基質은 主로 磯岩으로 되어 있고 土壤形成이 貧弱하여, 渴水期에는 乾燥化 狀態로 있으나 磯岩地帶의 下層部分에는 比較的 多量의 물이 흐르고 있다. 標高 200 m 以下の 溪谷의 植生은 休憩所, 登山路, 野營地等의 施設때문에 많이 破壊되어 있다.

1980年부터 1983年까지 標高 170 m~550 m 와 幅 약 400 m 範圍內의 5個 (A, B, C, D, E) 와 溪流 양안에 5 m 幅의 belt transect, 15×15 m 크기의 quadrat 39개를 無作爲的으로 設置하고, 植物社會學의 調査와 每木調查를 하였다 (Mueller-Dombois and Ellenberg, 1974; Shimwell, 1971).

植物社會學의 調査에서는 Ellenberg (1956)에 準하였고 每木調查에서는 胸高直徑 (DBH) 2 cm 以上的 每個體의 DBH를 測定하였다. 또, 溪谷에서 兩斜面으로 設置한 belt transect

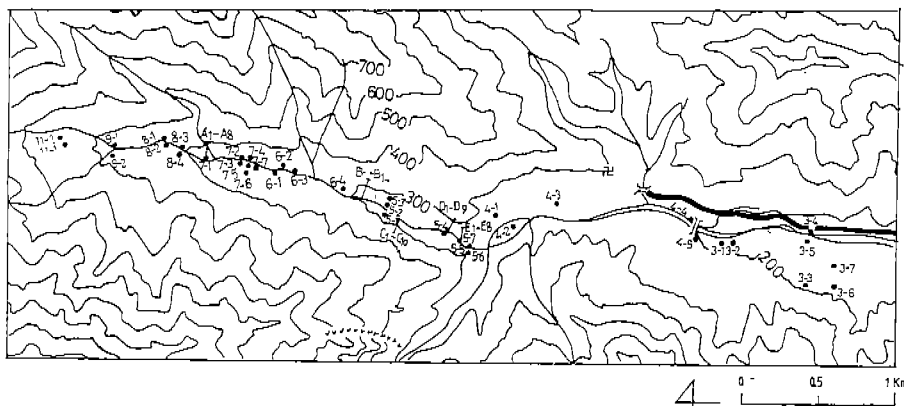


Fig. 1. Sample plots at the surveyed area, 150~600 m in altitude, Sangcheon ravine in 1982 and 1983. Symbol A, B, C and D indicate the positions of belt transect.

에서는 15 m 간격으로 地表下 15 cm의 土壤을 採取하여 有機物含量, pH, 含水量을 測定하였다 (Fig. 1).

有機物含量은 風乾細土 적당량을 24時間 100°C dry oven에 乾燥시킨 후, 灼熱시켜 土壤乾量에 對한 有機物 燃失量을 百分率로 算出하였다. 土壤 pH는 風乾細土 : 蒸溜水를 1:5로 混合하여 친탕시킨 후 electric pH meter (Fisher Model 620)로 測定하였다. 土壤含水量은 新鮮土를 100°C dry oven에 24時間 乾燥시킨 후 乾量에 對한 水分 消失量을 百分率로 計算하였다.

環境傾度 分析. 황철나무群集과 隣接한 群集들의 社會學的 類型을 分類하기 위하여 野外에서 얻은 data로 種組成表를 作成하고, 種의 優占度와 群度 階級 (Ellenberg, 1956)에 따라 群集을 類別하였다. 또, Yim and Kira (1975)에 依하여 高度에 따른 溫度遞減率 0.55°C/100 m으로 溫量指數를 算出하였고, 土壤含水量과 土壤有機物含量範圍를 10等級으로 等分하였으며, 土壤含水量은 表土의 實測值와 地形을 考慮하여 만든 mesic→xeric cline을 8等級으로 區分하였다. 이와 같이 하여 얻은 온도값과 습도값을 軸으로 한 二次元序列法에 依하여 황철나무의 生態的 地位 (Stern and Roche, 1974; 任, 1980)와 그 밖의 種의 分布密度, 種의 豐富性, 그리고 群集構造變化를 比較하였다. 特히 測區內에서의 황철나무의 優占度를 보기 위하여 全基底面積에 對한 황철나무의 胸高直徑斷面積 合計 즉, 황철나무의 基底面積百分率을 相對基底面積 (relative basal area; RBA)이라고 定義하고,  $RBA = \frac{\text{basal area of aspen}}{\text{total basal area}} \times 100$ , 各 地點의 環境的 傾度에 따른 RBA의 變化를 比較하였다.

### 結果 및 考察

황철나무群集의 特性. 種組成表 (Table 1)에 依하면 이곳의 植物群集은 황철나무群集, 소나무群集, 고로쇠群集, 서나무群集, 갈참나무群集, 굽참나무群集 등으로 나누어 진다.

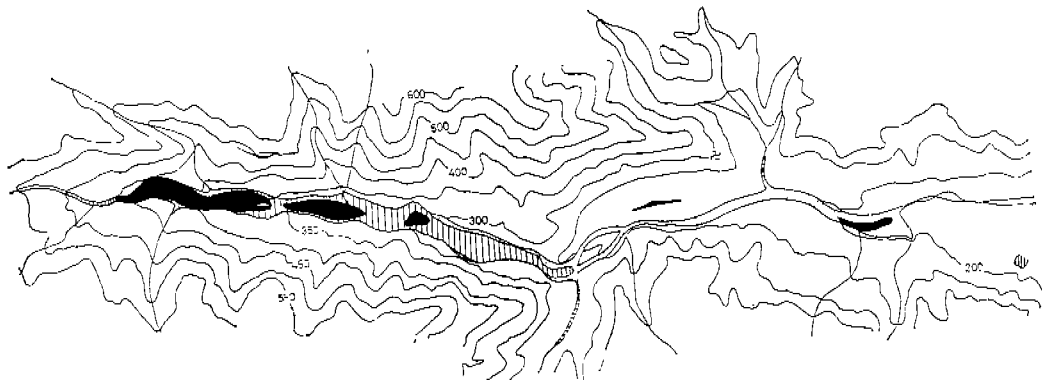


Fig. 2. Distribution in the relative basal area of *P. maximowiczii*, Sangcheon ravine.

○ ; 0~40 %, ◎ ; 40~80 %, ● ; 80~100 %

황철나무群集은 基質條件에 따라 소나무와 競爭關係에 있으며, 水路에서 침침 멀어짐에 따라 闊葉樹種에 壓倒되어가고 있음을 볼 수 있다. 喬木層에서는 황철나무가 거의 單一優占種이거나 황철나무와 소나무가 共同優占種으로 되어 있다. 亞喬木層에서는 위의 2種 外에 불투례나무, 서어나무, 생강나무가 낮은 頻度로 나타내고, 灌木層에서는 생강나무가 優

占하고, 그 외에 조록싸리, 참싸리, 물푸레, 병꽃나무等이 나며 개나루가 比較的 높은 D.S (Dominance, Sociability)를 나타내고 있다. 草本層에는 등칡, 담쟁이, 기름새 順으로 높은 頻度와 群度를 나타내며 생강나무, 들깨풀, 맑은대쑥, 조록싸리, 주름조개풀, 개나루, 풀거북꼬리 등이 있다.

溪谷을 A (400~500 m), B (300~400 m), C (200~300 m)의 3구로 나누어 DBH class別 頻度分布를 보면 (Fig. 3) 3곳 모두 DBH 6~8 cm 階級, 즉 幼齡의 나무가 높은 頻度를 나타내고 있는데, 이것은 C區間에서 더욱 顯著하다. 이러한 特徵은 황칠나무 群集이相當히 不安定한 狀態로 溪流의 狀況變化에 따라 持續되고 있음을 意味한다.

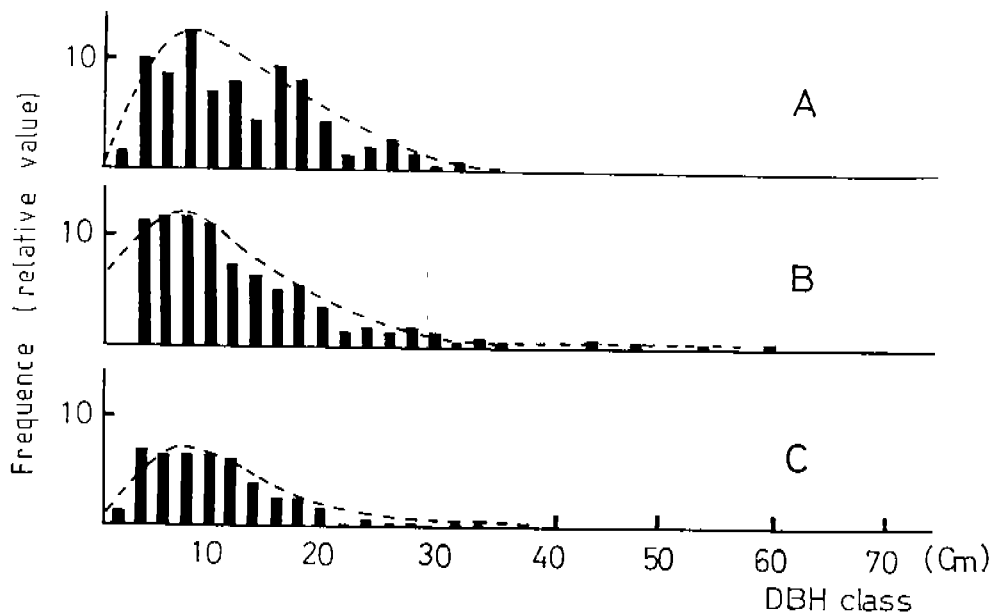


Fig. 3. Frequency of DBH class along the altitude.

A : 400—500 m (6 Quadrats)

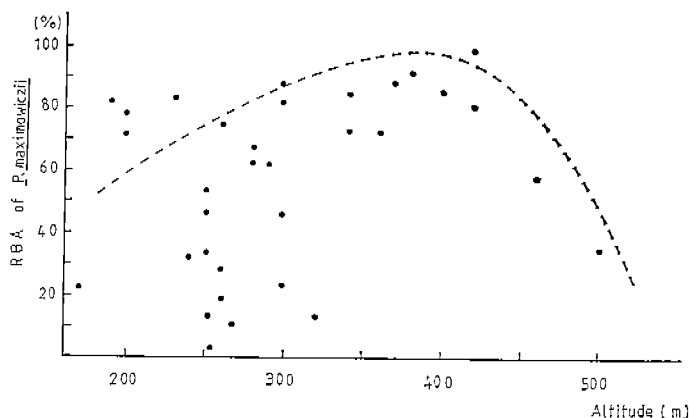
B : 300—400 (10 Quadrats)

C : 200—300 (9 Quadrats)

*P. maximowiczii*의 分布 好適範圍를 相對基底面積, RAB $\geq 80\%$ 라고 보면 이곳은 標高 360 m~420 m에 該當한다 (Fig. 2 and 4). 特히, Plot 8—1에서는 98 %, Plot 7—1에서는 95 %를 나타내고 있다. 高度 分布範圍를 溫度範圍로 바꾸어 보면 最適範圍는 年平均氣溫  $9^{\circ}\text{C}$ ~ $11.5^{\circ}\text{C}$ , 溫量指數 (WI) 75~91°C가 된다.

土層發達이 種間의 競爭에 變化를 일으키고 있는 것으로 보인다. 土層 (A層) 發達이 거의 없거나 未熟한 砂質土이며 水分이 땅은 磐岩地帶인 Plot 8—1과 7—1에서는前述한 바와 같이 황칠나무가 優勢하고 溪流에 가깝고 乾燥한 Plot D—2와 7—5에서는 소나무의 RAB가 각각 81 %와 77 %, 少少 土層이 形成되어 있고 乾燥하지 않은 곳인 Plot C—3와 E—3에서는 其他闊葉樹種이 優勢해서 이들의 RAB가 각각 69 %, 62 %를 나타내고 있다.

砂質土로서 表層이 乾燥한 곳에서 황칠나무가 소나무보다 더 優勢하고, 水路 近處에 DBH=15 cm 以上의 소나무가 分布하고 있는 것은 表土의 含水量에서 基因하는 것이 아니

Fig. 4. Distribution of the RBA of *P. maximowiczii* forest in different sites, Sangcheon ravine.

고 이 두 樹種 사이의 基質 特性, 그리고 每年 流路가 多少 變하는 等의 地形的 條件과 關係가 있는 것으로 보인다. 즉, 黃楓나무는 땅 속 깊숙히 뿌리를 내려 깊이 1m 以上 深度에서 흐르는 地下水를 利用할 수 있는데 反하여 소나무는 比較的 表土 가까이에 뿌리를 뻗고 있다. 이때문에 두 樹種 사이에는 共存이 可能하다. 그러나 水路 附近에서는 소나무가 成長이 빠른 키가 큰 黃楓나무에 依하여 光이 遮斷되어 枯死하고 있는 것을 散見할 수 있다. 水路에서 멀어짐에 따라 遷移가 進行되므로 耐陰性이 弱한 黃楓나무는 光에 對한 競爭의 結果 耐陰性이 強한 많은 他樹種들로 代置된다는 것을 알 수 있다 (Fig. 5).

傾度分析. 溪谷에서 斜面으로 감에 따라 土壤有機物量이 增加하고 또 種의 數가 增加하고 있어 土壤有機物含量과 分布種數와의 사이에는 陽의 相關 ( $r=0.54$ )를 나타내고 있다 (Fig. 6). 土壤有機物含量이 增加함에 따라 *Populus*, *Pinus*, *Prunus*, *Quercus* 順으로 優占種이 變하고 있다 (Fig. 9). 이와 같은 事實은 Olson (1963)의 報告와 符合된다.

表土의 含水量은 溪流에서 斜面을 向하여 一定距離 (약 135 m)까지 增加 傾向을 나타내

고 있다 (Fig. 8). 이것은 磐岩地帶의 土層形成特性과 關係가 있다. 黃楓나무나 소나무等은 表土보다는 褐色 깊은 곳의 물을 利用하고 있어 樹種分布에 영향을 미치므로 表土含水量 測定值보다는 地形分析에 의한 濕度勾配를 利用하는 것이 合理的일 것이다. 地形을 考慮한 8 級의 濕度勾配에 따라 出現하는 樹種들을 보면 (Fig. 7) 有機物 勾配에

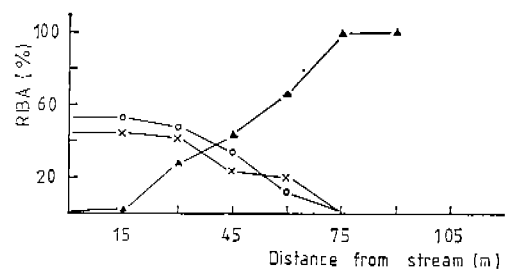


Fig. 5. Competition of the aspen, red pine, and other species: Changes in RBA along distance from stream.  
 ○—○, aspen; ×—×, red pine;  
 ▲—▲, other species.

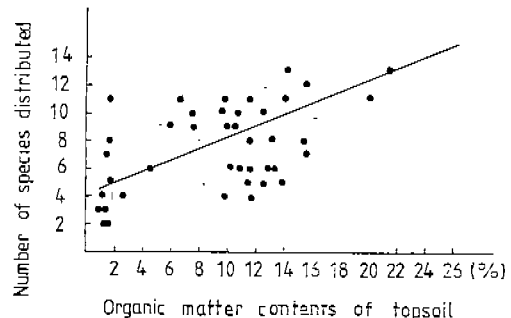


Fig. 6. Relation between organic matter contents of soil and number of species.

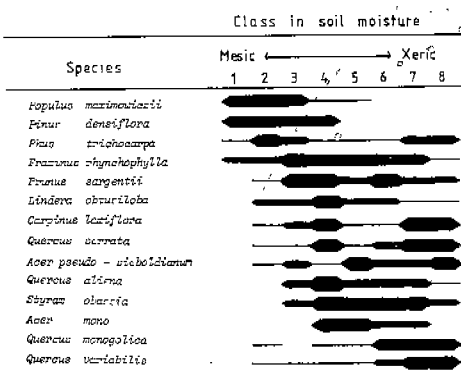


Fig. 7. Distribution of species along the soil moisture class.

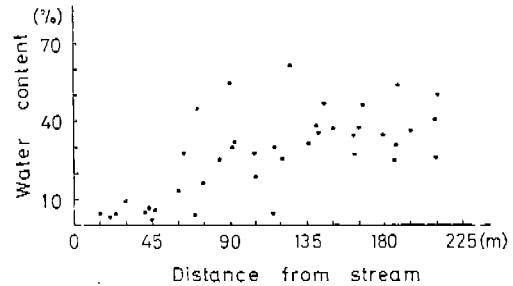


Fig. 8. Relation between water content of topsoil and distance from ravine stream.

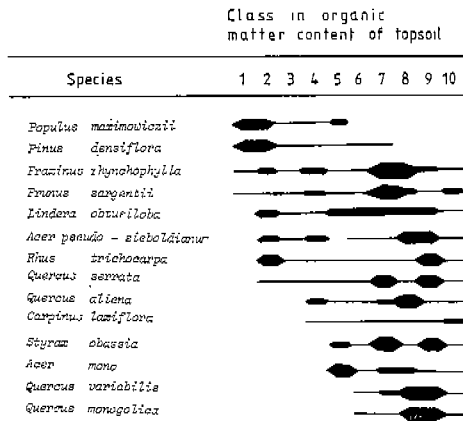


Fig. 9. Distribution of species along the soil organic matter class.

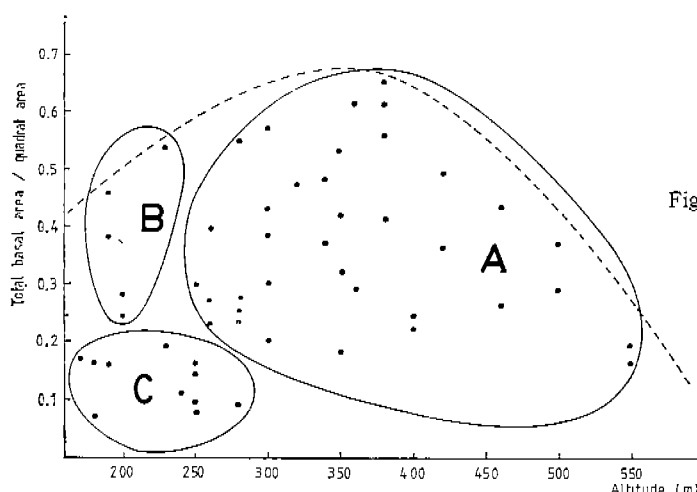


Fig. 10. Changes in basal area along the altitude, Sangcheon ravine.  
A : Undisturbed site  
B : Semi-disturbed site  
C : Disturbed site

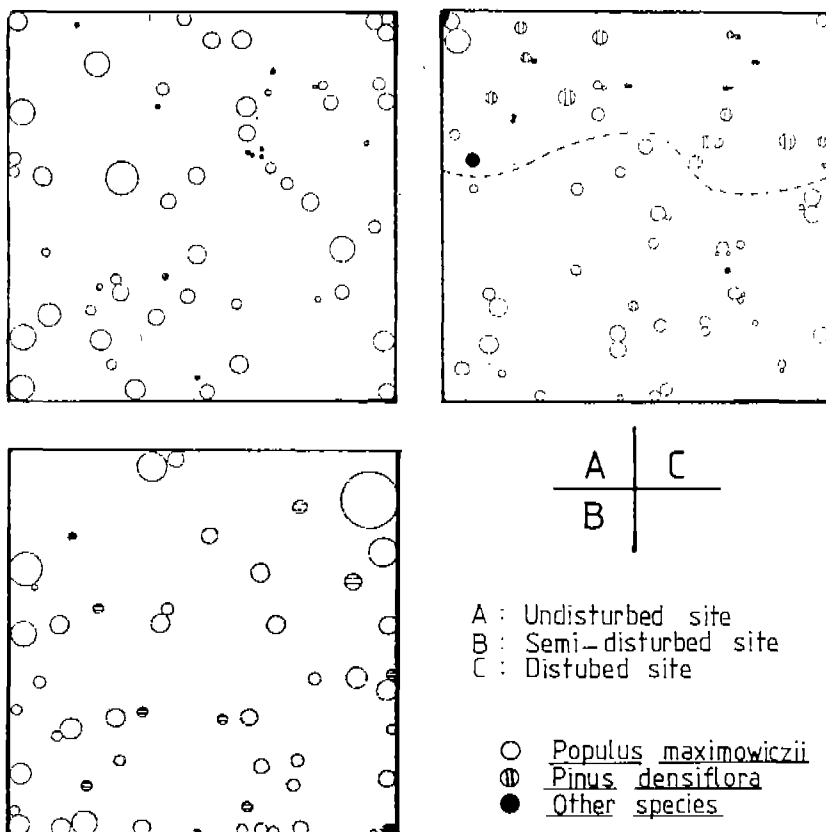


Fig. 11. Three types of the community structure in different disturbed degree, Sangcheon ravine.

황칠나무가被害를 더 입은 때문으로 보인다.

溫度와 濕度 傾度의 2次元의 序列法에 의하여 보면 *P. maximowiczii*는 溫度 傾度에서는 好適曲線을 나타내나 濕度 傾度에 對하여는 Mesic 쪽으로 편향되어 있다 (Fig. 11 A). 溫度와 濕度의 好適範圍를 벗어난 RBA 70~80 %를 나타내는 group A의 立地는 現재 물은 흐르고 있지 않지만 水路의 痕迹이 있고 地面이 다른 곳보다 낮은 것으로 보아 實際水分條件은 表土 (Top Soil)보다 深土 (Subsoil)에서는 좋은 것으로 생각된다. 따라서 觀察值의 不足을 理論的으로 補完하면 좀더 鮮明한 diagram으로 黃칠나무群集의 二次元分布域을 表示할 수 있다 (Fig. 12).

#### 摘要

低項嶺 雙川 溪谷의 碟岩地帶에 分布하는 *Populus maximowiczii* 群集은 標高 170 m~550 m 사이의 溪流에 沿하여 分布하고 있다. 特히 360 m~420 m 사이에 土壤水分이 充足하고 碟岩地帶인 데에서는 全基底面積의 最高 98 %를 占하는 純群落을 이루고 있다. 基質條件과 水分條件에 따라 溪流附近에서는 *Pinus densiflora*와, 斜面에서는 *Fraxinus rhynchophylla*, *Prunus sargentii*, *Lindera obtusiloba* 等과 競爭關係에 있다.

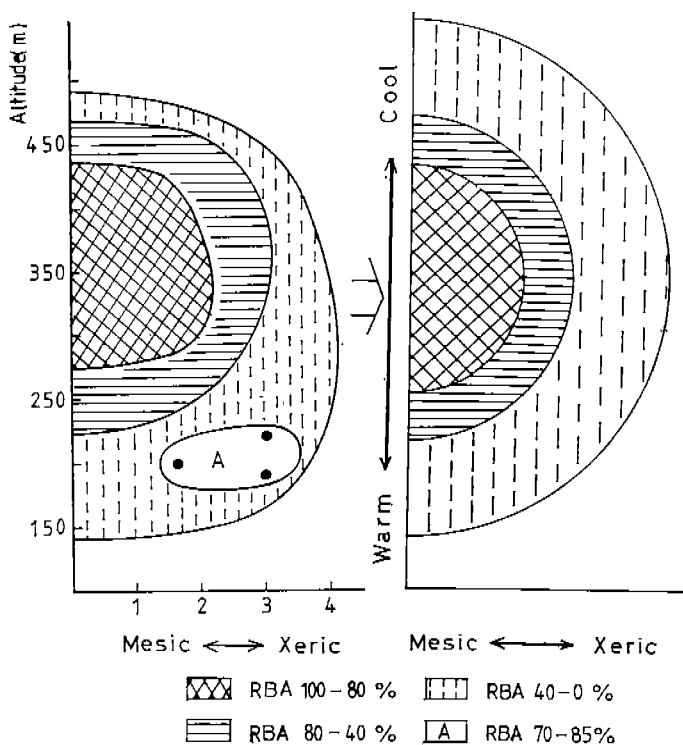


Fig. 12. Schematic diagram in the distribution of *P. maximowiczii* along the temperature-moisture gradient, Sangcheon ravine.

溪流에서兩斜面으로 감에 따라遷移의進展을 볼 수 있고, 溪谷의 中間高度의 比軸的 不安定한 基質 위에 황칠나무의 純群落이 나타나고 있는데 이것은 황칠나무가 一종의 edaphic climax를 이루고 있는 것으로 보여지며 *P. maximowiczii* 群落은 溫度와 濕度를 軸으로 하는 二次元的 序列로 그 分布範圍과 群落의 構造的 特徵을 잘 나타낼 수 있었다.

#### 参考文献

- 白順達·任良宰. 1983. 雪嶽山 大青峰의 植生. 韓國生態學會誌 6: 1~13.  
 鄭台鉉·李愚喆. 1963. 雪岳山 植物調查研究. 成大論文集 8: 231~269.  
 Ellenberg, H. 1956. Aufgaben und Methoden der Vegetationskunde. Ulmer, Stuttgart. 136 pp.  
 Fox, B. J. 1981. Niche parameters and species richness. *Ecology* 62: 1415~1425.  
 Larcher, W. 1969. The effect of environmental and physiological variables on the carbon dioxide exchanges of trees. *Photosynthetica* 3: 167~198.  
 李昌福. 1980. 大韓植物圖鑑. 鄭文社, 서울.  
 李一球·R. H. Robinson·李浩俊·朴圭夏·姜惠遠. 1973. 外雪嶽의 植物 分布相. 建國大學校 學術誌 15: 499~524.  
 Mueller-Dombois, D. and H. Ellenberg. 1974. Aims and Methods of Vegetation Ecology. John

- Wiley and Sons, New York. 547 pp.
- Olson, J. S. 1958. Rates of succession and soil changes on southern Lake Michigan sand dunes. *Bot. Gazette* 119 : 125~170.
- Pallardy, S. G. and T. T. Kozlowski. 1981. Water relation of *Populus* clones. *Ecology* 62 : 152~169.
- Shimwell, D. W. 1971. The Description and Classification of Vegetation. University of Washington, Seatle. 322 pp.
- Stern, K. and L. Roche 1974. Genetics of Forest Ecosystem. Ecological Studies 6. Springer-Verlag. Berlin. 330 pp.
- 林文喬·李銀馥·崔基龍·全義植. 1983. 外雪嶽自然 槓生에 關한 生態學的 研究. 韓國自然保存協會. 自然保存研究報告書 5 : 23~32.
- Yim, Y.-J. and T. Kira. 1975. Distribution of forest vegetation and climate in the Korean Peninsula. I. Distribution of some indices of thermal climate. *Jap. J. Ecol.* 25 : 77~88.
- and ———. 1977. Distribution of forest and climate in the Korean Peninsula. III. Distribution of tree species along the thermal gradient. *Jap. J. Ecol.* 27 : 177~189.
- 任良平. 1980. 一般 生態學. 二友出版社, 서울. 403 pp.
- 沈載國. 1982. *Populus tomentiglandulosa* 의 成長에 關한 研究. 한국임산에너지 2 : 1~8.

(1984. 4. 20. 接受)